



*Modelli di Dispersione  
degli Inquinanti in Aria*

2011

Parte 5

**Modello Lagrangiano a Particelle**

*dott. Roberto Sozzi  
dott. Andrea Bolignano*

## Considerazione Preliminare

Aria del PBL

**Visione macroscopica** → **fluido continuo** il cui **stato** presenta spiccate caratteristiche pseudo-casuali (**turbolenza**) evidenti nelle irregolarità delle misure delle principali variabili che lo descrivono. Tali irregolarità sono ben *descritte* adottando un **punto di vista statistico**.

**Visione microscopica** → **insieme di molecole** di varie specie chimiche in **continuo movimento caotico** (*pseudo-casuale*) nello spazio e nel tempo.

Il loro movimento non può essere seguito nel dettaglio, molecola per molecola, ma il **risultato collettivo** del loro evolvere nello spazio e nel tempo può essere **catturato** in un punto  $\mathbf{P}(x,y,z)$  e ad un istante  $t$  da una *misura* (euleriana) fatta in quel punto.

**E' ovvia la correttezza della visione microscopica del PBL,  
ma per scopi pratici, è più semplice e operativa una  
Descrizione Macroscopica  $\Rightarrow$  Fluidodinamica.**

**Emissione di una sostanza inquinante in  $P(x_0, y_0, z_0; t_0)$ :**

**Visione microscopica**: in  $P(x_0, y_0, z_0; t_0)$  vengono a trovarsi **un certo numero** (*enorme* comunque) di **molecole** della **sostanza inquinante**, dotate ciascuna di proprie proprietà dinamiche (velocità). Tali molecole, negli istanti  $t$  successivi a  $t_0$ , si muovono con le altre molecole dell'aria e le caratteristiche del loro moto dipenderà delle **condizioni dinamiche iniziali** e dalla **interazione** con le molecole d'aria circostanti

**Visione macroscopica**: nel punto  $P(x_0, y_0, z_0; t_0)$  viene immessa una **quantità di un fluido continuo** avente proprie caratteristiche iniziali (velocità, temperatura, densità) che, negli istanti  $t$  successivi a  $t_0$ , si **miscelerà** con l'aria circostante.

***Tutti i modelli di dispersione visti finora adottano un approccio macroscopico***



In essi, l'effetto della turbolenza deve essere in qualche modo **parametrizzato** mediante **parametri *ad hoc*** (es. parametri di dispersione nei modelli gaussiani e ibridi, tensore di diffusione turbolenta nei modelli euleriani)

***Modello Lagrangiano a Particelle***



***Adotta una versione semplificata dell'approccio microscopico.***

**Modello di tipo totalmente statistico non nel senso di una descrizione statistica dell'intero fenomeno, ma di una descrizione statistica del movimento delle differenti particelle di inquinante entro l'aria.**

## Elementi di base di un Modello Lagrangiano a Particelle (LPM)

**Particelle**  $\Rightarrow$  l'emissione di molecole in  $\mathbf{P}(x_0, y_0, z_0; t_0)$  è **simulata** con l'introduzione in  $\mathbf{P}$  di un numero rilevante di entità astratte (**particelle**), cioè di **porzioni piccole ed elementare di sostanza inquinante**. Si ha che:

- ogni particella ha un volume irrilevante
- ad ogni particella emessa viene attribuita una massa  $Q$  di sostanza inquinante
- conserva la propria massa (nessuna reazione chimica o impoverimento per deposizione)
- possiede in  $\mathbf{P}(x_0, y_0, z_0; t_0)$  una propria velocità iniziale
- continua il proprio moto negli istanti successivi a  $t_0$  descrivendo una traiettoria nello spazio e nel tempo
- le particelle non interagiscono tra loro
- le particelle interagiscono in qualche modo con l'ambiente circostante variando la propria traiettoria istante dopo istante

**Aria del PBL** ⇒ viene **ancora** descritta come un **fluido continuo in moto turbolento**.

La sue **caratteristiche** sono quelle descritte dalla Micrometeorologia e tale **descrizione** è di **tipo** strettamente **euleriano**, cioè in ogni punto  $\mathbf{P}(x,y,z;t)$  il fluido possiede:

- un **vettore velocità media** e un **valore medio** per le altre grandezze macroscopiche che ne definiscono lo **stato medio**
- i **momenti di vario ordine** relativi alle variabili di interesse (varianze delle componenti della velocità, covarianze tra componenti della velocità e tra queste e la temperatura)
- in qualche modo **influenza** la traiettoria di ogni singola particella

## Obiettivo del modello



**Descrizione ad ogni istante  $t > t_0$  della traiettoria di ogni singola particella**

*Le caratteristiche macroscopiche del fluido in cui sono immerse le particelle sono quelle di un fenomeno stocastico*



**Ipotesi Principe di un LPM**



***Il movimento di ogni singola particella è la realizzazione di un processo stocastico continuo, vista l'interazione con l'aria circostante che presenta caratteristiche stocastiche***

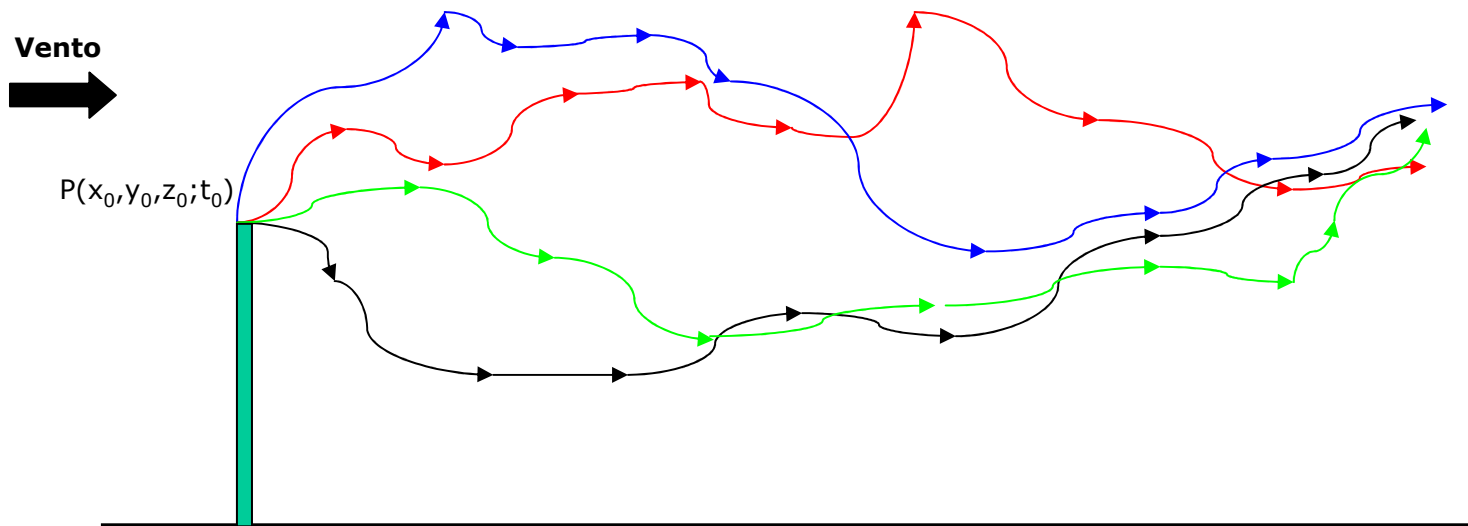
## Processo stocastico

- ⇒ Un **processo fisico** (es. il movimento di un punto) che **evolve nello spazio e nel tempo** a partire da un **punto iniziale**  $\mathbf{P}(x_0, y_0, z_0; t_0)$  in modo casuale, con ben precise caratteristiche statistiche.
- ⇒ Se lo **stesso processo** (es. il movimento della stessa particella) **potesse ripetersi un'infinità di altre volte nelle stesse condizioni** (e per la Statistica ciò è possibile), la sua evoluzione avrebbe **infinite realizzazioni** a priori **diverse**.
- ⇒ Ogni singola **particella** evolve nello spazio-tempo seguendo le leggi di un **processo stocastico**.
- ⇒ La **non interazione** ipotizzata per le particelle comporta che i vari **processi stocastici** siano tra loro **indipendenti** .



## Logica del LPM

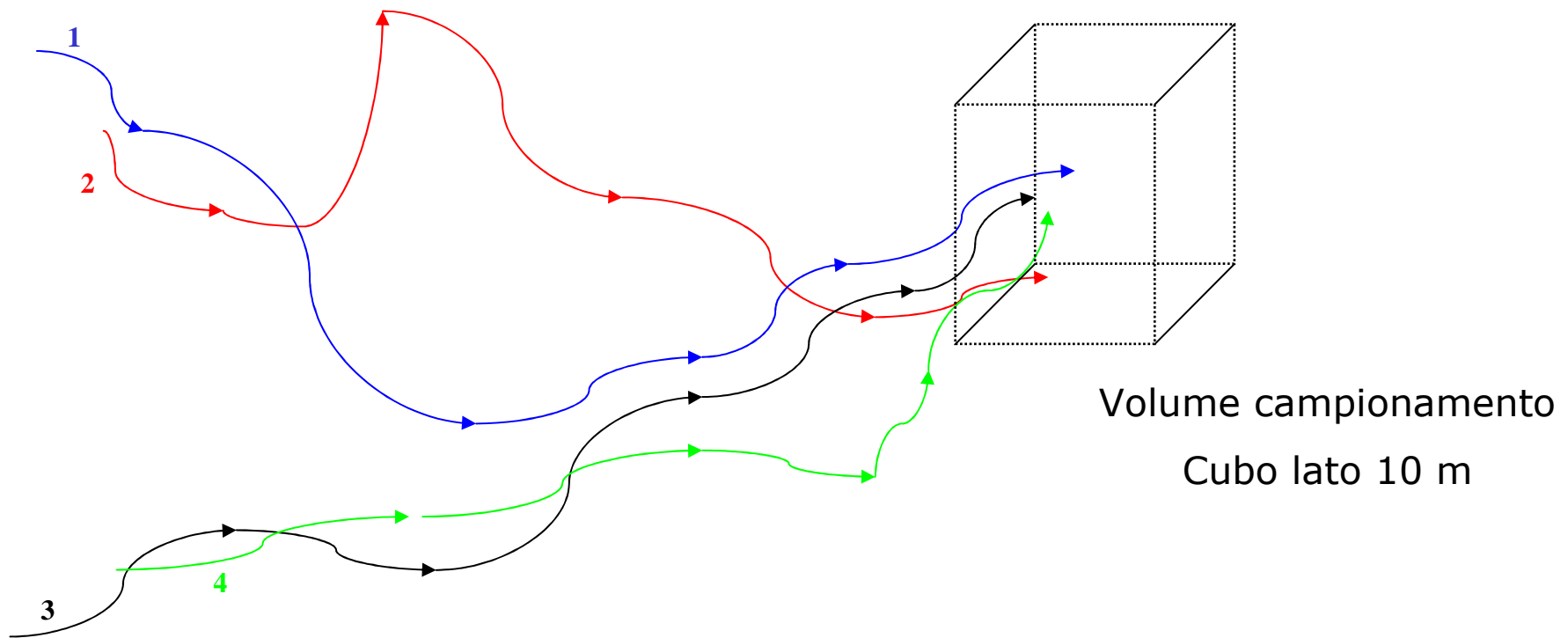
- ⇒ Le particelle vengono emesse insieme da  $P(x_0, y_0, z_0; t_0)$
- ⇒ Ogni particella segue nel tempo una **realizzazione** di traiettoria
- ⇒ La traiettoria di ogni particella è a priori diversa
- ⇒ LPM segue ogni singola traiettoria



## LPM segue la traiettoria di ogni singola particella

- ⇒ Ad un istante **t** considera un punto **P**( $x, y, z; t$ )
- ⇒ Individua, centrato su P, un piccolo volume di spazio (es. un cubo) → **volume di campionamento V**
- ⇒ Individua **quali particelle** si trovano all'istante **t entro** il volume di campionamento
- ⇒ Siano **N** le **particelle presenti**, ognuna contenente una **quantità  $Q_i$**  di **sostanza inquinante**
- ⇒ Si definisce **concentrazione** nel punto **P** all'istante **t**

$$C(x, y, z; t) = \frac{\sum_{i=1}^N Q_i}{V}$$



Particella 1  $\rightarrow Q_1 = 5 \text{ mg/m}^3$

Particella 1  $\rightarrow Q_2 = 10 \text{ mg/m}^3$

Particella 1  $\rightarrow Q_3 = 7 \text{ mg/m}^3$

Particella 1  $\rightarrow Q_4 = 20 \text{ mg/m}^3$

$$C(x, y, z; t) = \frac{Q_1 + Q_2 + Q_3 + Q_4}{V} = \frac{5 + 10 + 7 + 20}{10 \cdot 10 \cdot 10} \cdot \frac{\text{mg}}{\text{m}^3} = 42 \mu\text{g} / \text{m}^3$$

## Essenza di un LPM



### Ricostruzione simulata della traiettoria di ogni singola particella



Sia data una generica particella  $p$  in un sistema di riferimento cartesiano ortogonale:

#### Traiettoria di $p$

$$\begin{cases} x_p(x, y, z; t) = x[x_o(t_0), y_0(t_0), z_0(t_0); t] \\ y_p(x, y, z; t) = y[x_o(t_0), y_0(t_0), z_0(t_0); t] \\ z_p(x, y, z; t) = z[x_o(t_0), y_0(t_0), z_0(t_0); t] \end{cases}$$

#### Velocità di $p$

$$\begin{cases} u_p(x, y, z; t) = \frac{dx_p}{dt} = u_p[u_o(t_0), v_0(t_0), w_0(t_0); t] \\ v_p(x, y, z; t) = \frac{dy_p}{dt} = v_p[u_o(t_0), v_0(t_0), w_0(t_0); t] \\ w_p(x, y, z; t) = \frac{dz_p}{dt} = w_p[u_o(t_0), v_0(t_0), w_0(t_0); t] \end{cases}$$

## LPM considera come processo stocastico

⇒ **non** la posizione nel tempo di una singola particella

⇒ **ma la sua posizione e la sua velocità nel tempo.**



Traiettorie nello Spazio delle Fasi  $(x, y, z, u_p, v_p, w_p; t)$



**Ogni singola componente della velocità è un processo stocastico**

NB. **Per semplicità**, si ipotizzi che **non ci siano interdipendenze** tra le varie componenti della velocità della particella che considereremo **processi stocastici distinti e indipendenti**.

# Modellizzazione di una generica componente (es. $u_p$ ) della velocità di una particella

## Processo stocastico $u_p$

$$u_p(x, y, z; t) = \overline{u_p}(x, y, z; t) + u_p'(x, y, z; t)$$

### Ipotesi A

La particella si trova *immersa* nell'aria e, in media, viene **trascinata** dal **moto medio** dell'atmosfera

### Componente Deterministica

$$\overline{u_p} = \overline{u}$$

$\overline{u}$  = velocità media euliana dell'aria

### Ipotesi B

La fluttuazione è **propria** della particella e dipende:

- dalla sua storia passata
- dal livello di turbolenza propria dell'aria circostante

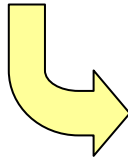
### Componente Stocastica

# Studio della parte stocastica di una componente della velocità di una particella

## Modello Semplificato

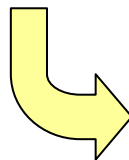


⇒ la particella viene **trasportata orizzontalmente** dal **moto medio** delle masse d'aria (**Trasporto deterministico**)



$$\begin{aligned} u_p(x, y, z; t) &= \bar{u}_p(x, y, z; t) = \bar{u}(x, y, z; t) \Rightarrow u'_p(x, y, z; t) = 0 \\ v_p(x, y, z; t) &= \bar{v}_p(x, y, z; t) = \bar{v}(x, y, z; t) \Rightarrow v'_p(x, y, z; t) = 0 \end{aligned}$$

⇒ La particella presenta una **traslazione nulla in verticale** e **fluttua stocasticamente** in verticale



$$\begin{aligned} w_p(x, y, z; t) &= w'_p(x, y, z; t) \\ \bar{w}_p &= 0 \end{aligned}$$

**Processo stocastico  $w'_p$**



**Dipende dalla storia della particella**

**Ipotesi C**



**Processo Stocastico di tipo Markoviano**

*Il futuro è determinato solo dal presente ed è  
indipendente dal passato  
(processo senza memoria)*



***Al processo stocastico  $w'_p$  si applica direttamente la Teoria  
dei Processi Stocastici Markoviani***





**Al tempo  $t$  una particella possiede una fluttuazione di velocità verticale  $w_p(t)$**

**Secondo la Teoria dei Processi Markoviani,  $w_p$  al tempo  $t+dt$  ( $dt$  intervallo di tempo piccolo) è data dall'Equazione di Langevin**

$$dw_p = w_p(t+dt) - w_p(t) = a_w(z, w_p, t) \cdot dt + b_w(z, w_p, t) \cdot d\xi$$

**Coefficiente di Drift**

**Coefficiente di diffusione**

**Processo Incrementale di Wiener**

Processo stocastico gaussiano a media nulla e varianza  $dt$ .

$a_w(z, w, t) \cdot dt$  → termine deterministico dipendente solo da  $dt$   
 $b_w(z, w, t) \cdot d\xi$  → termine stocastico dipendente dalla variabile stocastica  $d\xi$  che a sua volta dipende da  $dt$

## Generazione Numerica di realizzazioni di un processo incrementale di Wiener

$d\xi$  → variabile stocastica che segue una **distribuzione gaussiana**  $\mathbf{N(0,dt)}$  con:

- *Media nulla*
- *Varianza  $dt$*

Nell'equazione di Langevin, ogni volta che compare  $d\xi$ , significa che **tale variabile assume un valore estratto a caso** da una distribuzione  $\mathbf{N(0,dt)}$

### Teorema della Statistica

Se:  $X = N(m,s^2)$  e  $Y = N(0,1)$

$$\mathbf{X = m + s \cdot Y}$$

## Procedura di generazione numerica di due realizzazioni $d\xi_1$ e $d\xi_2$

1) Estrazione di 2 numeri  $u_1$  e  $u_2$  **realizzazioni** di una variabile stocastica distribuita uniformemente tra 0 e 1;

2) Calcolo di

$$\begin{aligned}V_1 &= 2u_1 - 1 \\V_2 &= 2u_2 + 1 \\W &= V_1^2 + V_2^2\end{aligned}\quad Y = \sqrt{-\ln W/W}$$

3) Si ottengono due realizzazioni  $X_1$  e  $X_2$  di una variabile  **$N(0,1)$**

$$\begin{aligned}X_1 &= V_1 Y \\X_2 &= V_2 Y\end{aligned}$$

4)  $d\xi_1$  e  $d\xi_2$  (distribuiti come  $N(0,dt)$ ) sono dati da

$$\begin{aligned}d\xi_1 &= \sqrt{dt} \cdot X_1 \\d\xi_2 &= \sqrt{dt} \cdot X_2\end{aligned}$$

## Esercizio

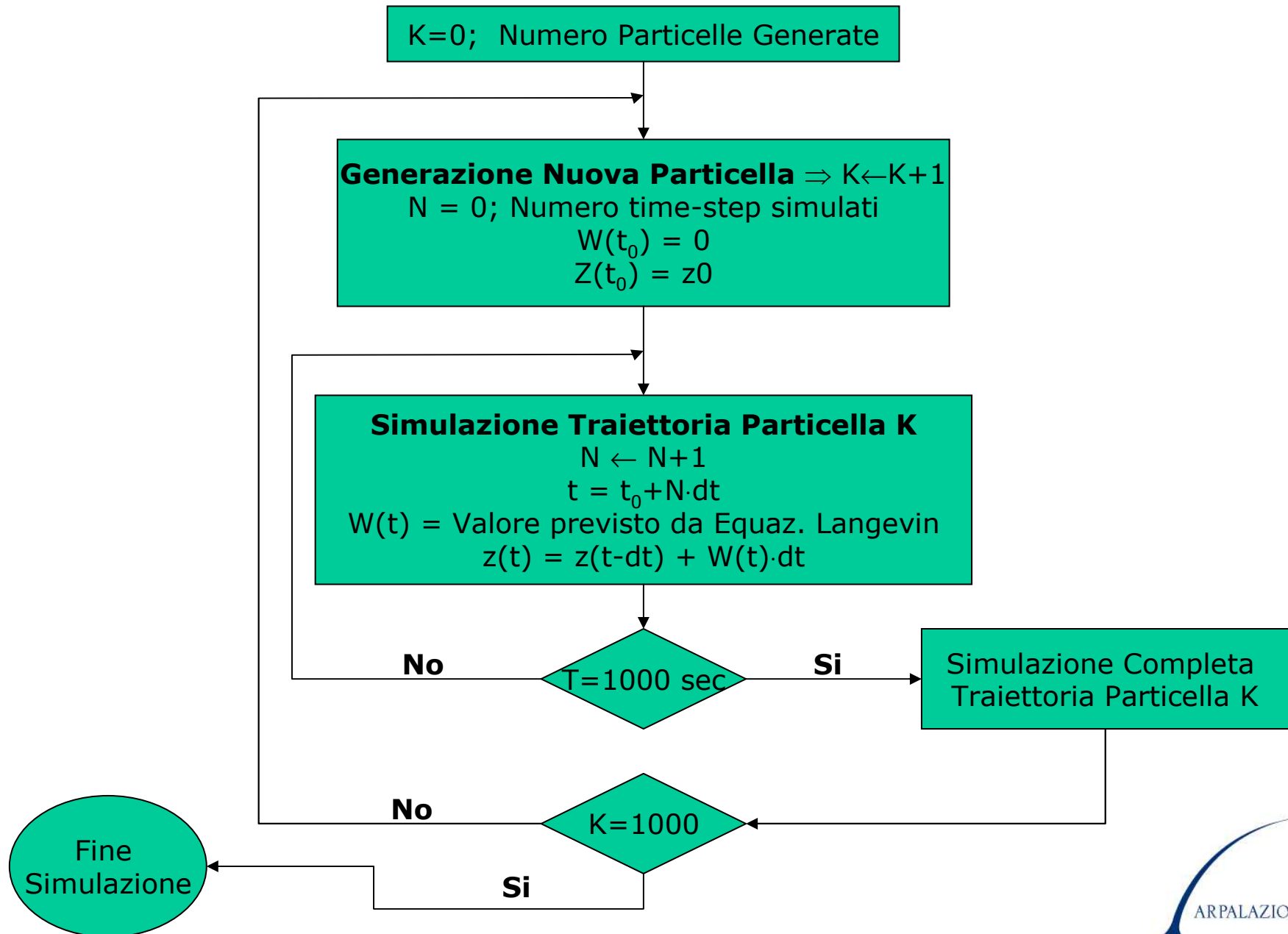
Vediamo se questo modello parziale porta a risultati utili anche se non si è in grado, per ora, di dare un valore ai coefficienti  $a_w$  e  $b_w$ .

Si consideri un'**emissione contemporanea di 1000 Particelle**:

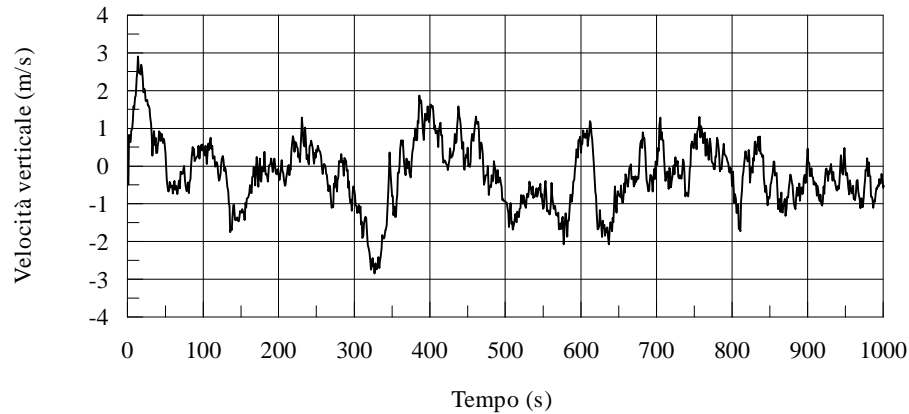
- ogni particella si trova all'istante iniziale  $t=0$  in  $\mathbf{P}(0,0,z_0)$
- all'istante iniziale la particella è ferma ed in particolare  $\mathbf{w}_0=0$
- $dt = 1$  secondo
- $a_w(z,w,t) = \mathbf{a}_w(\mathbf{w}) = -0.03 w$
- $b_w(z,w,t) = \mathbf{b}_w = 0.23$
- la simulazione viene condotta per **1000 secondi**
- la particella è soggetta ad un trasporto trasversale nullo e ad un trasporto longitudinale dovuto ad un **vento medio pari a 1 m/s**

$$w_p(t+dt) = w_p(t) + a_w \cdot dt + b_w \cdot d\xi$$

**Si esegue una simulazione Monte Carlo**



## Risultati della Simulazione Monte Carlo



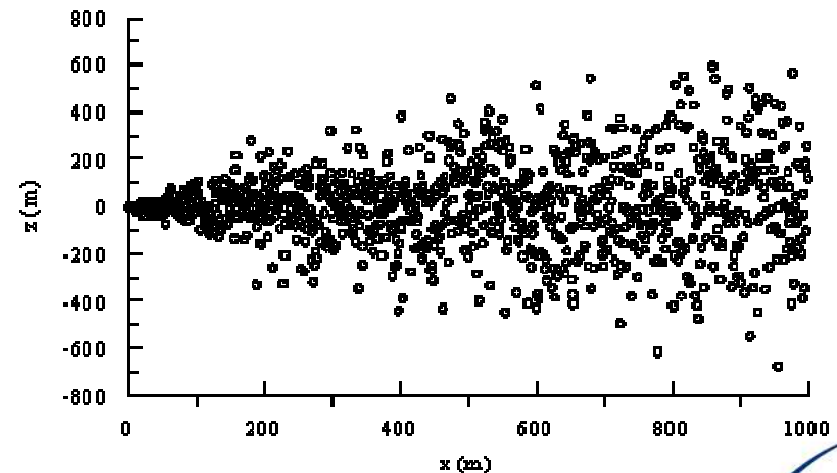
**Andamento nel tempo  
della velocità verticale  
della particella**

**Distribuzione delle  
particelle nello spazio  
bidimensionale (x,z)**



### Commento

Il modello descrive effettivamente un processo di diffusione. Se si riuscisse a porre in relazione  $a_w$  e  $b_w$  alla turbolenza del PBL, sarebbe possibile ottenere un modello di dispersione utilizzabile



Il modello risulta **promettente**, ma per usarlo, è **indispensabile**



**individuare un modo per determinare  
i termini  $a_w(z,w,t)$  e  $b_w(z,w,t)$**



Tale modo dovrebbe poter **consentire** di sfruttare al meglio la **conoscenza statistica del moto dell'aria del PBL**

Dall'equazione di Langevin non si può ottenere, per ora, nulla di più.

E' necessario acquisire maggiori informazioni su un Processo Stocastico Markoviano.

## Descrizione alternativa di un Processo Stocastico Markoviano

Ad ogni particella è associabile una  
Funzione di Densità di Probabilità  $P(z,w,t)$



$P(z,w,t)$  = probabilità che, al tempo  $t$ , una particella si venga a trovare ad una quota nell'intervallo  $z \div z+dz$  con una velocità verticale compresa tra  $w_p$  e  $w_p+dw_p$



Modo alternativo di descrivere l'evoluzione  
di una particella



**Equazione di Langevin**  $\Rightarrow$  seguo la particella in ogni istante dal suo rilascio (istante iniziale  $t_0$ ) ed in ogni punto e ne registro la traiettoria. In sostanza seguo una realizzazione del processo stocastico con cui è descritta.

**Utilizzo di  $P(z,w,t)$**   $\Rightarrow$  mi pongo in un punto dello spazio-tempo (o meglio in un punto dello Spazio delle Fasi) e mi domando quale sia la probabilità di trovare proprio in quel punto quella particella, o meglio una particella qualunque avente la data velocità  $w$

**La Teoria dei Processi Stocastici Markoviani individua un modo per descrivere  $P(z,w,t)$**



**Equazione di Fokker-Plank**

## Equazione di Fokker-Planck

Equazione differenziale alle derivate parziali che descrive l'evoluzione rispetto a  $z$ ,  $w$  e  $t$  della Funzione Densità di Probabilità  $P(z,w,t)$

$$\frac{\partial}{\partial t} P(z,w,t) + \frac{\partial}{\partial z} [w \cdot P(z,w,t)] = -\frac{\partial}{\partial w} [a_w \cdot P(z,w,t)] + \frac{1}{2} \frac{\partial^2}{\partial w^2} [b_w^2 \cdot P(z,w,t)]$$

Questa equazione, di fatto, contiene le stesse informazioni contenute nell'equazione di Langevin, anche se la forma matematica e statistica è notevolmente differente.

Un'**osservazione di fondamentale importanza** è che in questa equazione sono presenti gli **stessi parametri  $a_w$  e  $b_w$**  dell'equazione di Langevin.

Non si nota, però, alcun collegamento tra le caratteristiche statistiche delle particelle  $P(z,w,t)$  e quelle statistiche dell'aria  $P_a(z,w,t)$

**$P(z,w,t)$**  = probabilità che al tempo  $t$  **una particella di sostanza inquinante** possieda una quota  $z \div z+dz$  e una velocità verticale  $w \div w+dw$

**$P_a(z,w,t)$**  = probabilità che al tempo  $t$  un **particella d'aria del PBL** possieda una quota  $z \div z+dz$  e una velocità verticale  $w \div w+dw$



La **Micrometeorologia** consente di **descrivere** con ottimo dettaglio le **caratteristiche statistiche** dell'aria del PBL e quindi, in qualche modo, anche  **$P_a(z,w,t)$**

**Per come è stata ottenuta e formulata, l'equazione di Fokker-Planck, a rigore, si riferisce a  $P(z,w,t)$  e non a  $P_a(z,w,t)$**

## Well Mixed Condition (Thomson, 1987)

Se, però, si accetta la constatazione sperimentale che l'**evoluzione di particelle completamente rimescolate nel PBL resta tale** nel tempo e si **descrive** ciò mediante l'**equazione di Fokker-Planck**, si **ottiene** che

$$P_a(z,w,t) = P(z,w,t)$$

Questo non è un **risultato cosmetico**, ma è **essenziale** perché la statistica dell'aria del PBL può essere ben conosciuta e caratterizzata con la Micrometeorologia.

A questo punto si ha che:

- l'equazione di Langevin descrive la traiettoria di una particella nel PBL e richiede la conoscenza di  $a_w$  e  $b_w$
- l'equazione di Fokker-Planck descrive in modo differenziale  $P(z,w,t)$  che è equivalente a meno di una costante a  $P_a(z,w,t)$
- $a_w$  e  $b_w$  stanno in entrambe le equazioni

## Determinazione di $b_w$

Un parametro statistico importante in Micrometeorologia Teorica è la **Funzione di Struttura Lagrangiana** definita come:

$$D(dt) = [w_p(t+dt) - w_p(t)]^2$$

E' uno dei modi con cui esprimere l'**autocorrelazione** della velocità verticale di una particella

E' **lagrangiana** perché si riferisce alla traiettoria di una particella d'aria presa singolarmente

## Micrometeorologia



### Relazione di Similarità

$$D(dt) = C_0 \cdot \varepsilon \cdot dt$$

Costante Universale ( $\cong 3$ )

$\varepsilon$  = tasso di dissipazione  
di Energia Cinetica  
Turbolenta

**La Funzione di Struttura è direttamente proporzionale ad tasso di dissipazione dell'Energia Cinetica Turbolenta e all'intervallo di  $dt$ .**

**Questa Relazione di Similarità è vera quando  $dt$  è maggiore del Tempo Caratteristico di Kolmogorov e inferiore al tempo di scala Lagrangiano**

**Calcoliamo La Funzione di Struttura impiegando direttamente l'Equazione di Langevin**



Si ottiene:

$$D(dt) = \overline{[w_p(t+dt) - w_p(dt)]^2} = \overline{[a_w dt + b_w d\xi]^2} = \overline{a_w^2 \cdot dt^2 + b_w^2 \cdot d\xi^2 + 2a_w b_w \cdot dt \cdot d\xi}$$

**L'intervallo  $dt$  è molto piccolo  $\rightarrow$  vengono trascurati tutti i termini in cui  $dt$  è presente con potenza maggiore di 1**

### Analisi dei singoli termini:

$$\overline{a_w^2 dt^2} = a_w^2 dt^2 \quad \Rightarrow \text{trascurato perché dell'ordine di } dt^2$$

$$\overline{b_w^2 d\xi^2} = b_w^2 \overline{d\xi^2} = b_w^2 dt \quad \Rightarrow \text{tenuto (il processo stocastico } d\xi \text{ è il processo incrementale di Wiener che ha media nulla e varianza } dt)$$

$$\overline{2a_w b_w dt \cdot d\xi} = 2a_w b_w dt \cdot \overline{d\xi} = 0$$



$$D(dt) = b_w^2 dt$$

Quindi si ha che:

$$D(dt) = C_0 \varepsilon \cdot dt = b_w^2 dt$$



$$b_w = \sqrt{C_0 \varepsilon}$$

E' stato quindi possibile individuare **un'espressione del tutto generale** per il Coefficiente di Diffusione  $b_w$ .

Dipendente solo da  $\varepsilon$ , parametro fondamentale della turbolenza del PBL

Resta da individuare un modo per determinare il coefficiente di drift  $a_w$



**Dall'equazione di Langevin non è possibile ottenere  $a_w$**

**Si consideri l'equazione di Fokker-Planck**

$$\frac{\partial}{\partial t} P_a(z, w, t) + \frac{\partial}{\partial z} [w \cdot P_a(z, w, t)] = -\frac{\partial}{\partial w} [a_w \cdot P_a(z, w, t)] + \frac{1}{2} \frac{\partial^2}{\partial w^2} [b_w^2 \cdot P_a(z, w, t)]$$

### Considerazioni

1. Per la ***well-mixed condition*** è espressa in termini di  $P_a(x, y, z; t)$ , cioè di una funzione di distribuzione statistica relativa alla turbolenza del PBL che può essere nota mediante la Micrometeorologia
2. Il coefficiente di diffusione  $b_w$  è stato determinato
3. L'unica incognita è il coefficiente di drift  $a_w$



**Se si utilizza una  $P_a(z, w; t) \Rightarrow$  Si ottiene  $a_w$**

# 1. Turbolenza Gaussiana Omogenea e Stazionaria

In un *PBL* reale non si ha mai una Turbolenza Gaussiana Omogenea se si considera la velocità verticale, mentre è una buona approssimazione per le fluttuazioni delle componenti orizzontali della velocità.

Vista la piccolezza di  $dt$  la stazionarietà è sempre una buona approssimazione.

Prendendo comunque come riferimento  $w$ , l'espressione di  $P_a(z,w;t)$  dipende quindi solo da  $w$  e vale:

$$P_a(z, w; t) = \frac{1}{\sqrt{2\pi}\sigma_w} \cdot \exp\left[-\frac{1}{2} \cdot \left(\frac{w}{\sigma_w}\right)^2\right]$$

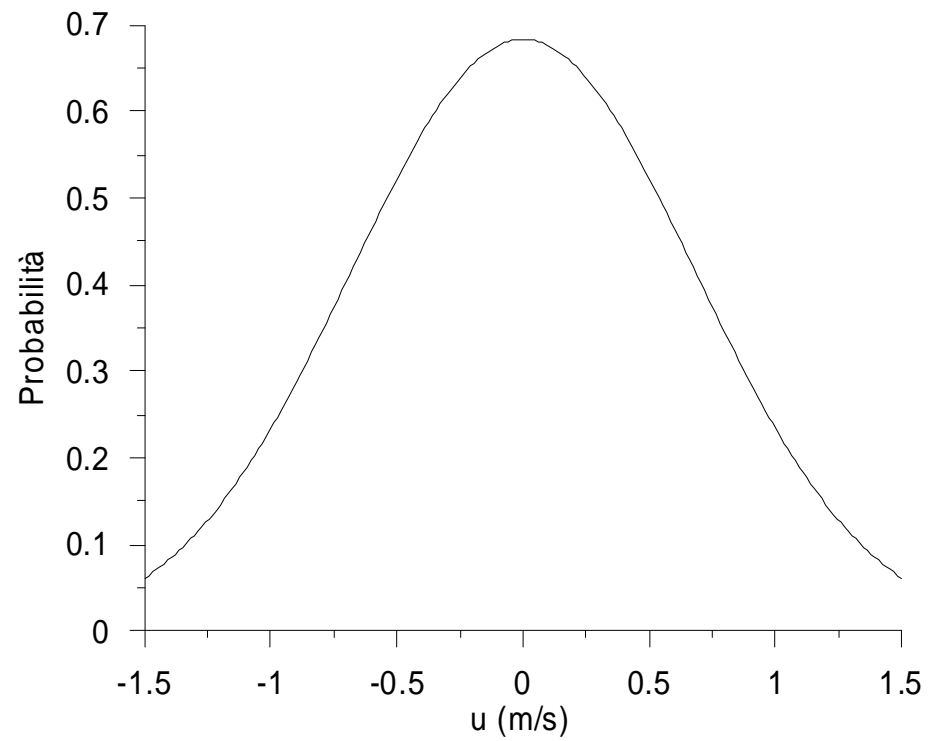
$\sigma_w$  è un parametro ben studiato nel *PBL*, può essere prodotto da modelli numerici di *PBL* e, oltre a tutto, è esprimibile mediante opportune Funzione di Similarità

## Esempio

### Componente trasversale u

$$\sigma_u^2 = 0.33w_*^2$$

$$w_* = 1.2(m/s)$$



Introducendo nell'equazione di Fokker-Planck questa espressione per  $P_a(z,w;t)$  e l'espressione ottenuta per  $b_w$ , si ottiene per il **coefficiente di drift  $a_w$**  la relazione seguente:

$$a_w = -\left(\frac{C_0 \varepsilon}{2\sigma_w^2}\right) \cdot w$$

**Note le espressioni di  $a_w$  e  $b_w$ , l'equazione di Langevin può essere impiegata veramente per la determinazione (numerica) della traiettoria di ogni singola particella emessa.**



$$w(t+dt) = w(t) + a_w dt + b_w d\xi$$
$$w(t+dt) = \left(1 - \frac{C_0 \varepsilon}{2\sigma_w^2} \cdot dt\right) \cdot w(t) + \sqrt{C_0 \varepsilon} \cdot d\xi$$

## Alcune Considerazioni

$$T_{Lw} = \frac{2\sigma_w^2}{C_0 \varepsilon}$$



Ha le dimensioni di un tempo

E' il Tempo Lagrangiano di scala  $T_{Lw}$  o meglio il tempo di decorrelazione di una particella.

$T_{Lw}$  piccolo  $\Rightarrow$  la particella **dimentica** molto rapidamente la propria  $w$

$T_{Lw}$  grande  $\Rightarrow$  la particella **ricorda** a lungo la propria  $w$

## Limite Logico e Applicativo

$$\frac{dt}{T_{Lw}} \ll 1 \Rightarrow dt \ll T_{Lw}$$

Per poter seguire l'evoluzione del processo stocastico  $w_p$ , bisogna che durante l'incremento temporale  $dt$  la particella non risulti completamente decorrelata con sé stessa, quindi  $dt$  non può essere superiore a  $T_{Lw}$

Nelle **applicazioni pratiche**, il passo temporale  **$dt$**  (infinitesimo) viene sostituito da un passo  **$\Delta t$**  finito ma piccolo che deve rispettare la limitazione seguente:

$$\Delta t \ll T_{Lw} = \frac{2\sigma_w^2}{C_0 \varepsilon}$$

Una **buona scelta pratica** è scegliere  $\Delta t < 0.1 T_{Lw}$

### **Forma discreta dell'Equazione Langevin**

$$w(t + \Delta t) = \left( 1 - \frac{C_0 \varepsilon}{2\sigma_w^2} \cdot \Delta t \right) \cdot w(t) + \sqrt{C_0 \varepsilon} \cdot d\xi$$

## Nota

Dato che  $dt$  è un infinitesimo, si ha che

$$\left(1 - \frac{C_0 \varepsilon}{2\sigma_w^2} \cdot dt\right) = \left(1 - \frac{dt}{T_{Lw}}\right) = \exp(-dt/T_{Lw})$$

**Funzione di Autocorrelazione**

Da questa considerazione l'**Equazione di Langevin Discreta** può essere espressa come

$$w(t + \Delta t) = \exp(-\Delta t/T_{Lw}) \cdot w(t) + \sigma_w \sqrt{\frac{2}{T_{Lw}}} \cdot d\xi$$

purché  $\Delta t$  rispetti la condizione indicata.

## 2. Turbolenza Gaussiana Non Omogenea e Stazionaria

In un *PBL* reale non si ha mai una Turbolenza Gaussiana Omogenea **soprattutto** se si considera la **velocità verticale**.



$\sigma_w$  è funzione della quota  $z$

Vista la piccolezza di  $dt$  la stazionarietà è sempre una buona approssimazione.

Prendendo come riferimento  $w$ , l'espressione di  $P_a(z,w;t)$  vale:

$$P_a(z, w; t) = \frac{1}{\sqrt{2\pi}\sigma_w(z)} \cdot \exp\left[-\frac{1}{2} \cdot \left(\frac{w}{\sigma_w(z)}\right)^2\right]$$

La Micrometeorologia ha individuato varie Relazioni di Similarità che ben riproducono i valori sperimentali.

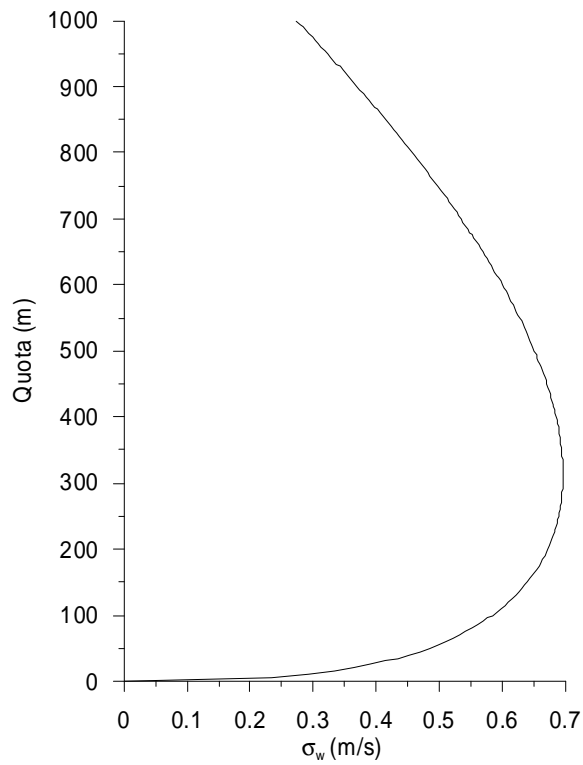
I modelli numerici di PBL sono in grado di fornire  $\sigma_w$  anche in casi orograficamente complessi



$$\sigma_w^2 = 1.3w_* \cdot \left(\frac{z}{z_1}\right)^{2/3} \left(1 - 0.8 \cdot \frac{z}{z_i}\right)$$

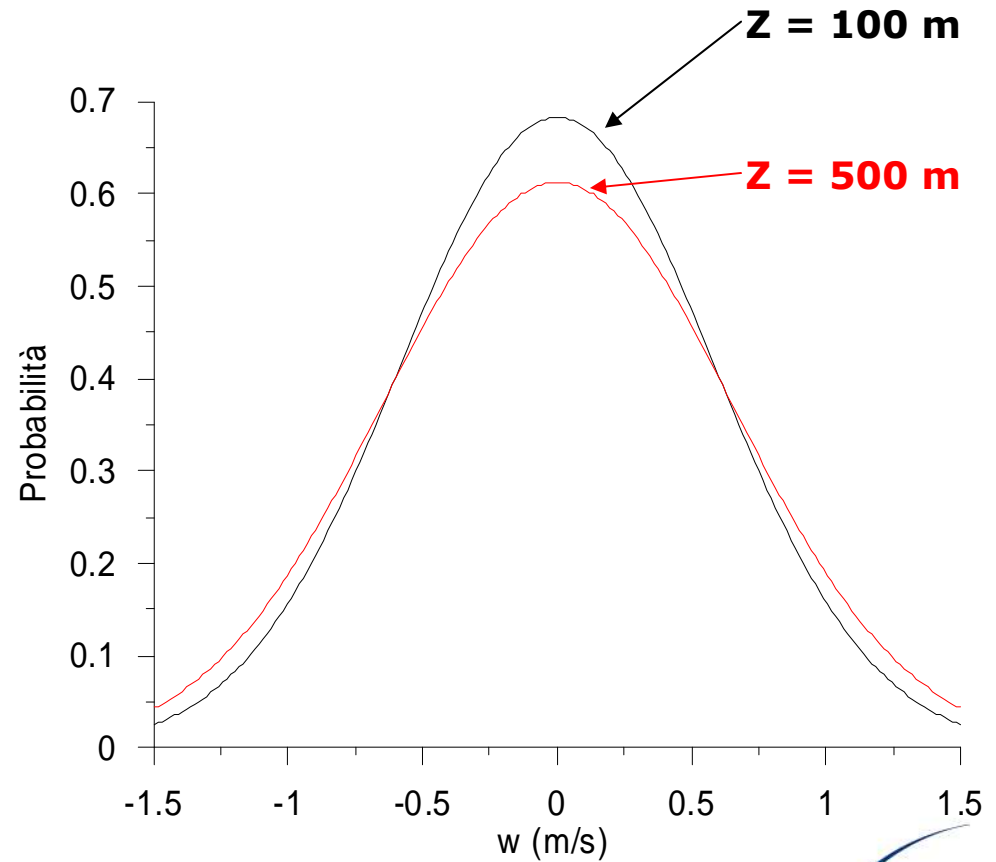
$$z_i = 1000m$$

$$w_* = 1.2(m/s)$$



## Esempio

$P_a(z, w)$



Introducendo nell'equazione di Fokker-Planck questa espressione per  $P_a(z,w;t)$  e l'espressione ottenuta per  $b_w$ , si ottiene per il **coefficiente di drift  $a_w$**  la relazione seguente:

$$a_w(z, w) = -\left(\frac{C_0 \varepsilon}{2\sigma_w^2(z)}\right)w + \frac{1}{2} \left[ 1 + \left(\frac{w}{\sigma_w(z)}\right)^2 \right] \cdot \frac{\partial \sigma_w^2(z)}{\partial z}$$

**Note le espressioni di  $a_w$  e  $b_w$ , l'equazione di Langevin della traiettoria di ogni singola particella emessa diventa**

$$w(t+dt) = w(t) + a_w dt + b_w d\xi$$

$$w(t+dt) = \left( 1 - \frac{C_0 \varepsilon}{2\sigma_w^2} \cdot dt \right) \cdot w(t) + \frac{1}{2} \cdot \left[ 1 + \left(\frac{w}{\sigma_w}\right)^2 \right] \cdot \frac{\partial \sigma_w^2}{\partial z} \cdot dt + \sqrt{C_0 \varepsilon} \cdot d\xi$$

**Termine aggiuntivo (rispetto al caso di turbolenza gaussiana omogenea) che tiene conto della variazione di  $\sigma_w$  con  $z$ .**

### 3. Turbolenza Non Gaussiana Omogenea e Stazionaria

In un *PBL convettivo* la distribuzione della componente verticale della velocità dell'aria  $w$  può essere vista come:

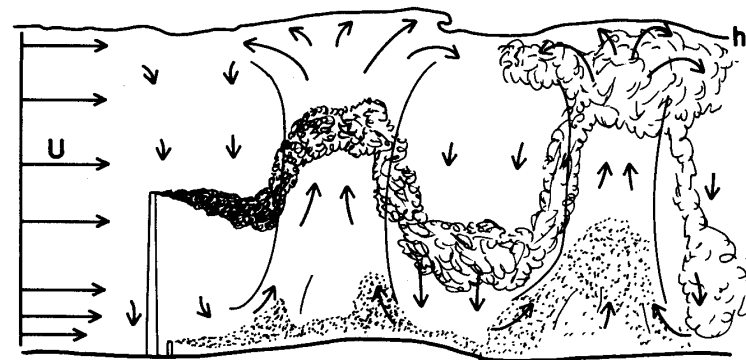
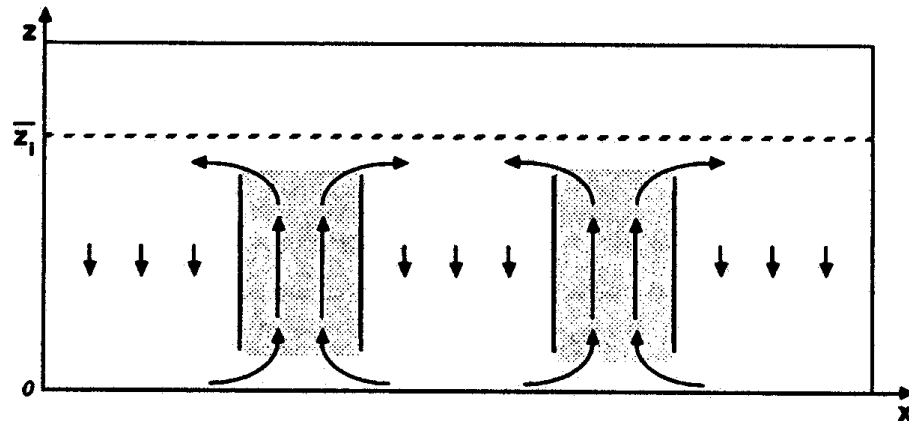
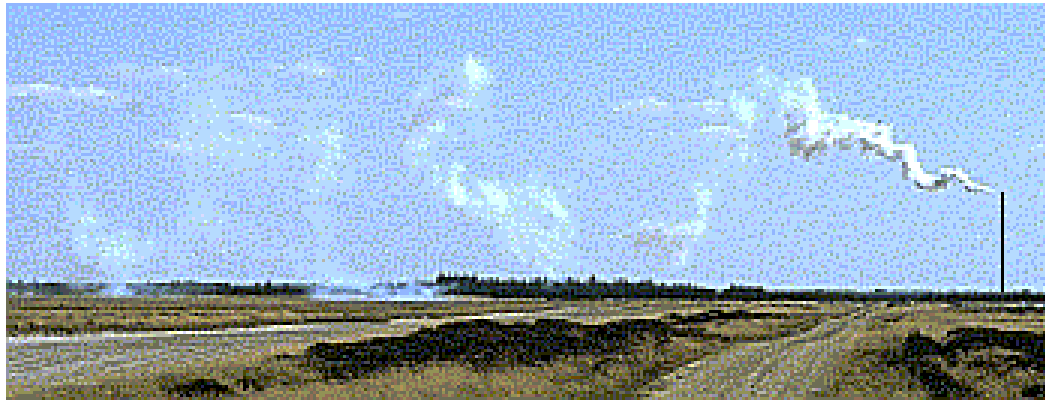
- ⇒ Omogenea in senso verticale entro tutto il *PBL* (si trascura ciò che accade nel SL)
- ⇒ Stazionaria
- ⇒ Non gaussiana ma descritta da una distribuzione asimmetrica

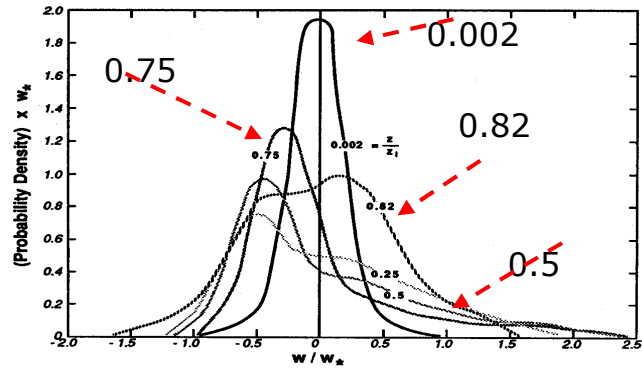
#### Modello di distribuzione

La distribuzione di  $w$  non è simmetrica per la presenza degli *updraft* e *downdraft*

1. *somma di due distribuzioni gaussiane*
2. *la prima (updraft) presenta un valor medio di  $w$  positivo*
3. *la seconda (downdraft) un valor medio di  $w$  negativo*

**flusso ascendente (*up-draft*)**  
**flusso discendente (*down-draft*)**





**Updraft**  
**Velocità media  $m_1$**   
**Standard deviation  $\sigma_1$**

$$P(z, w) = \frac{A_1}{\sqrt{2\pi}\sigma_1} \cdot \exp\left[-\frac{1}{2}\left(\frac{w-m_1}{\sigma_1}\right)^2\right] + \frac{A_2}{\sqrt{2\pi}\sigma_2} \cdot \exp\left[-\frac{1}{2}\left(\frac{w-m_2}{\sigma_2}\right)^2\right]$$

$$\sigma_1 = +m_1 = \sqrt{\frac{1}{2} \cdot \sigma_w^2 \cdot \frac{(1-p)}{p}}$$

$$\sigma_2 = -m_2 = \sqrt{\frac{1}{2} \cdot \sigma_w^2 \cdot \frac{p}{(1-p)}}$$

$p = 0.43$

**Downdraft**  
**Velocità media  $m_2$**   
**Standard deviation  $\sigma_2$**

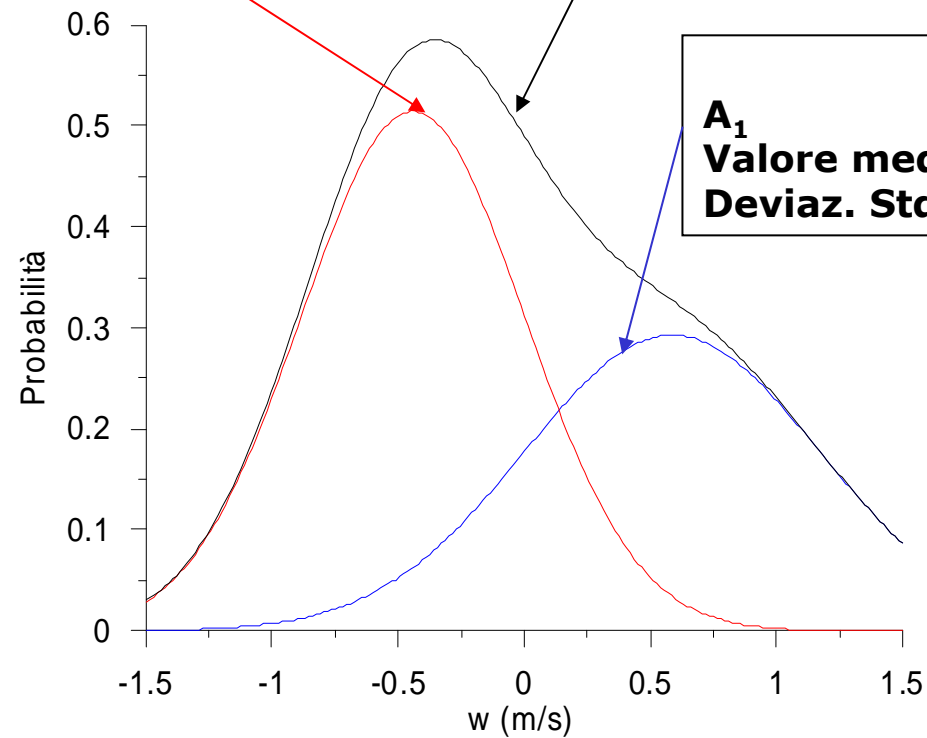


**Una possibile formulazione**

## Esempio

**Downdraft**  
 $A_2 = 0.57$   
Valore medio = - 0.442 m/s  
Deviaz. Std. = 0.442 m/s

Probabilità di w



**Updraft**  
 $A_1 = 0.43$   
Valore medio = 0.586 m/s  
Deviaz. Std. = 0.586 m/s

$W_* = 1.2 \text{ m/s}$

**Inserendo questa espressione di  $P(z,w)$  nell'equazione di Fokker-Planck, si ottiene la seguente espressione per  $a_w$**

$$a_w = -\frac{C_0 \varepsilon}{2} \cdot \frac{A_1 \cdot N(m_1, \sigma_1) \cdot (w - m_1) / \sigma_1^2 + A_2 \cdot N(m_2, \sigma_2) \cdot (w - m_2) / \sigma_2^2}{A_1 \cdot N(m_1, \sigma_1) + A_2 \cdot N(m_2, \sigma_2)}$$

**dove**

$$N(m_{1,2}, \sigma_{1,2}) = \frac{1}{\sqrt{2\pi}\sigma_{1,2}} \cdot \exp\left[-\frac{1}{2}\left(\frac{w - m_{1,2}}{\sigma_{1,2}}\right)^2\right]$$

**Anche in questo caso il coefficiente di diffusione vale:**

$$b_w = \sqrt{C_0 \varepsilon}$$

## **Primo Modello Utilizzabile**



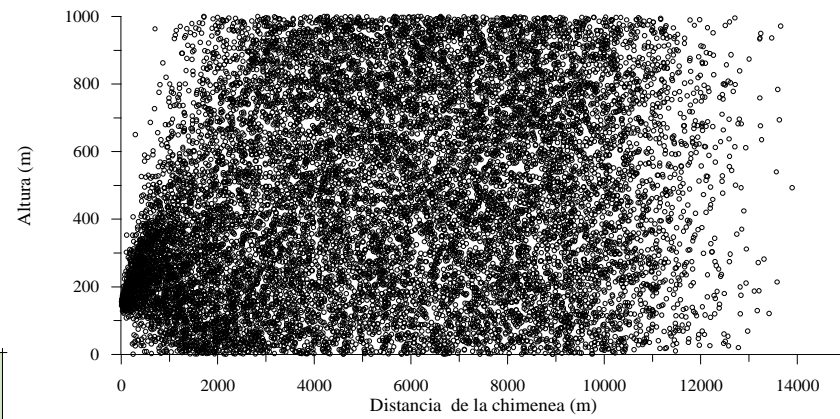
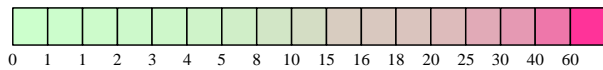
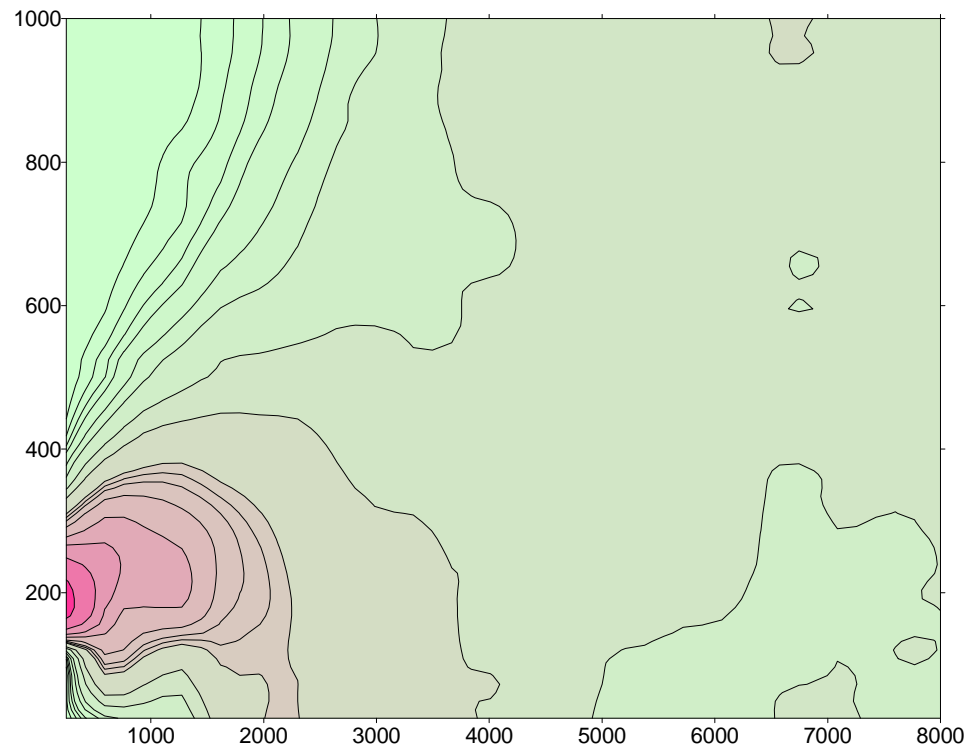
## **Modello Monodimensionale di Dispersione Verticale delle particelle**



- ⇒ **Metodo di simulazione di tipo Monte Carlo**
- ⇒ **Basato sull'applicazione discreta dell'equazione di Langevin relativa alla componente verticale  $w$  della velocità delle particelle**

**N.B. Il risultato che si ottiene da una Simulazione Monodimensionale è la distribuzione in verticale della concentrazione di un inquinante integrata nella direzione trasversale rispetto alla direzione di provenienza del vento**





## Un esempio di Simulazione Monodimensionale

## Modello Tridimensionale

Nella realtà → movimento di particelle nello spazio 3D



Teoria 3D ⇒ Molto complessa

In pratica, il movimento di ogni particella è descritto:

- ⇒ Dal valore delle 3 componenti medie della velocità della particella (è il moto *traslazionale* della particella dovuto al campo medio del vento)
- ⇒ Dalle 3 equazioni stocastiche che ne definiscono le fluttuazioni (è la conseguenza combinata della storia pregressa della particella e dell'azione della turbolenza dell'aria incontrata nel suo cammino)
- ⇒ Dalle 3 equazioni cinematiche che definiscono lo spostamento della particella nell'intervallo temporale  $dt$ .

**Nel dettaglio, una particella con un moto di traslazione dovuto alla velocità**

$$\left( \overline{u}, \overline{v}, \overline{w} \right)$$

**avrà fluttuazioni di velocità date dalle equazioni di Langevin**

$$\begin{aligned} u(t+dt) &= u(t) + a_u dt + b_u d\xi \\ v(t+dt) &= v(t) + a_v dt + b_v d\xi \\ w(t+dt) &= w(t) + a_w dt + b_w d\xi \end{aligned}$$

**e la sua posizione al tempo  $t+dt$  sarà data da**

$$\begin{aligned} x(t+dt) &= x(t) + \left[ \overline{u}(t+dt) + u(t+dt) \right] \cdot dt \\ y(t+dt) &= y(t) + \left[ \overline{v}(t+dt) + v(t+dt) \right] \cdot dt \\ z(t+dt) &= z(t) + \left[ \overline{w}(t+dt) + w(t+dt) \right] \cdot dt \end{aligned}$$

**Le espressioni dei vari coefficienti presenti nelle equazioni di Langevin sono molto complesse.**



**Semplificazione**



**Approssimazione Quasi-Tridimensionale**

- ⇒ **Le fluttuazioni  $u$ ,  $v$ ,  $w$  della velocità della particella sono tra loro indipendenti;**
- ⇒ **Le componenti orizzontali  $u$  e  $v$  avranno coefficienti  $a_{u,v}$  e  $b_{u,v}$  congruenti con una turbolenza gaussiana, omogenea e stazionaria;**
- ⇒ **La componente verticale  $w$  avrà coefficienti  $a_w$  e  $b_w$  congruenti o con una turbolenza gaussiana non omogenea o con una turbolenza non gaussiana a seconda del grado di convettività**

Fin qui sono stati presentati gli elementi essenziali di LPM

Perché possa essere **operativo** è necessario che **nel LPM** vengano inseriti altri **meccanismi modellistici**:

- ⇒ **Interazione delle particelle con le frontiere**
- ⇒ **Trattamento delle differenti sorgenti di emissione**
- ⇒ **Trattamento delle emissioni con buoyancy**
- ⇒ **Trattamento dei fenomeni di deposizione (secca e umida)**
- ⇒ **Trattamento delle reazioni chimiche degli inquinanti con gli altri costituenti l'atmosfera**

# 1. Condizioni di frontiera

## Interazione col suolo

**Particella che giunge al suolo, viene da esso riflessa verso l'alto.**

**Se una particella viene spostata dall'equazione di Langevin ad una quota  $z_p < 0$  con velocità  $w_p$ , la riflessione col suolo comporta che:**

$$\begin{aligned} z_p &\leftarrow -z_p \\ w_p &\leftarrow -w_p \end{aligned}$$

## Interazione col top del PBL

**Particella che raggiunge la sommità  $z_i$  di un **PBL convettivo** viene riflessa verso il basso, mentre non vi è interazione quando si è in situazioni stabili.**

**Se una particella viene spostata dall'equazione di Langevin, in una situazione convettiva, ad una quota  $z_p > z_i$  con velocità  $w_p$ , la riflessione con la sommità del PBL comporta che:**

$$\begin{aligned} z_p &\leftarrow 2z_i - z_p \\ w_p &\leftarrow -w_p \end{aligned}$$

## 2. Trattamento delle diverse sorgenti di emissione

### ⇒ Sorgenti Punto

Una sorgente punto schematizza l'emissione di inquinanti da una ciminiera elevata posta in posizione  $(x_c, y_c)$  ed alta  $z_c$ . Se:

1. la ciminiera presenta un raggio interno  $r_0$
2. se si intendono emettere in ogni time-step  $M$  particelle
3. se  $\sigma_u, \sigma_v, \sigma_w$  sono le deviazioni standard delle 3 componenti del vento a quota camino

ogni particella verrà emessa nella posizione:

$$x_o = x_c + \alpha \cdot r_0 \cdot \cos(2\pi\beta)$$

$$y_o = y_c + \alpha \cdot r_0 \cdot \sin(2\pi\beta)$$

$$z_o = z_c$$

$\alpha, \beta$  sono numeri casuali (0-1) da una distribuzione uniforme, con velocità:

$$u'_0 = \sigma_u(x_o, y_o, z_o) \cdot g_u$$

$$v'_0 = \sigma_v(x_o, y_o, z_o) \cdot g_v$$

$$w'_0 = \sigma_w(x_o, y_o, z_o) \cdot g_w$$

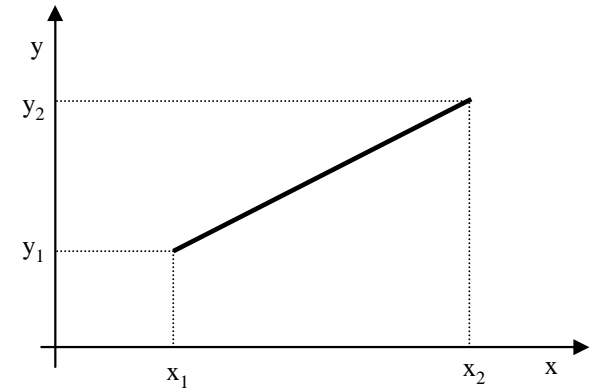
$g_u, g_v, g_w$  → numeri casuali da distribuzioni gaussiane con deviazioni standard  $\sigma_u, \sigma_v, \sigma_w$ .

## ⇒ Sorgenti Linea

Schematizza l'emissione da strade.

### Modello geometrico della sorgente

$$y = y_1 + \frac{y_2 - y_1}{x_2 - x_1} \cdot (x - x_1)$$



**Se vengono emesse  $N$  particelle, estratto per ciascuna un numero casuale  $r_a$  da una distribuzione uniforme (0-1), ogni particella avrà coordinate**

$$x_o = x_1 + r_a(x_2 - x_1)$$

$$y_o = y_1 + \frac{y_2 - y_1}{x_2 - x_1}(x_o - x_1)$$

**(si è immaginato che la sorgente linea stia al suolo).**

**Se  $I$  è l'emissione lineare (g/m/s), la massa di ogni particella sarà**

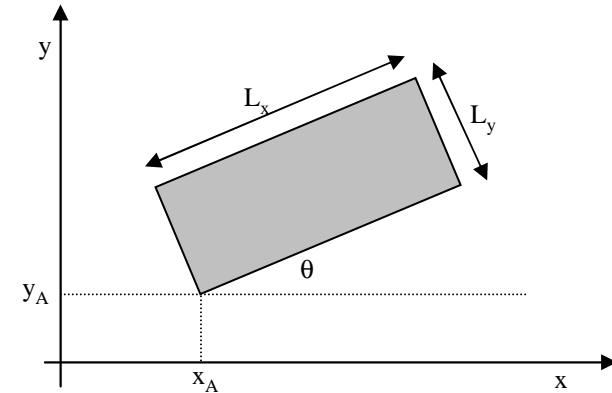
$$m_k = \left\{ \ell \cdot \sqrt{(x_1 - x_2)^2 + (y_2 - y_1)^2} \cdot \Delta t \right\} / N$$



## ⇒ Sorgenti Area

Se si emettono  $N$  particelle nel time-step  $\Delta t$  e la sorgente ha emissione  $q$  ( $\text{g}/\text{m}^2/\text{s}$ ), ad ogni particella viene attribuita la massa di:

$$m_k = (q \cdot L_x \cdot L_y \cdot \Delta t) / N$$



La posizione di ogni singola particella sarà (nell'ipotesi che l'area stia al suolo)

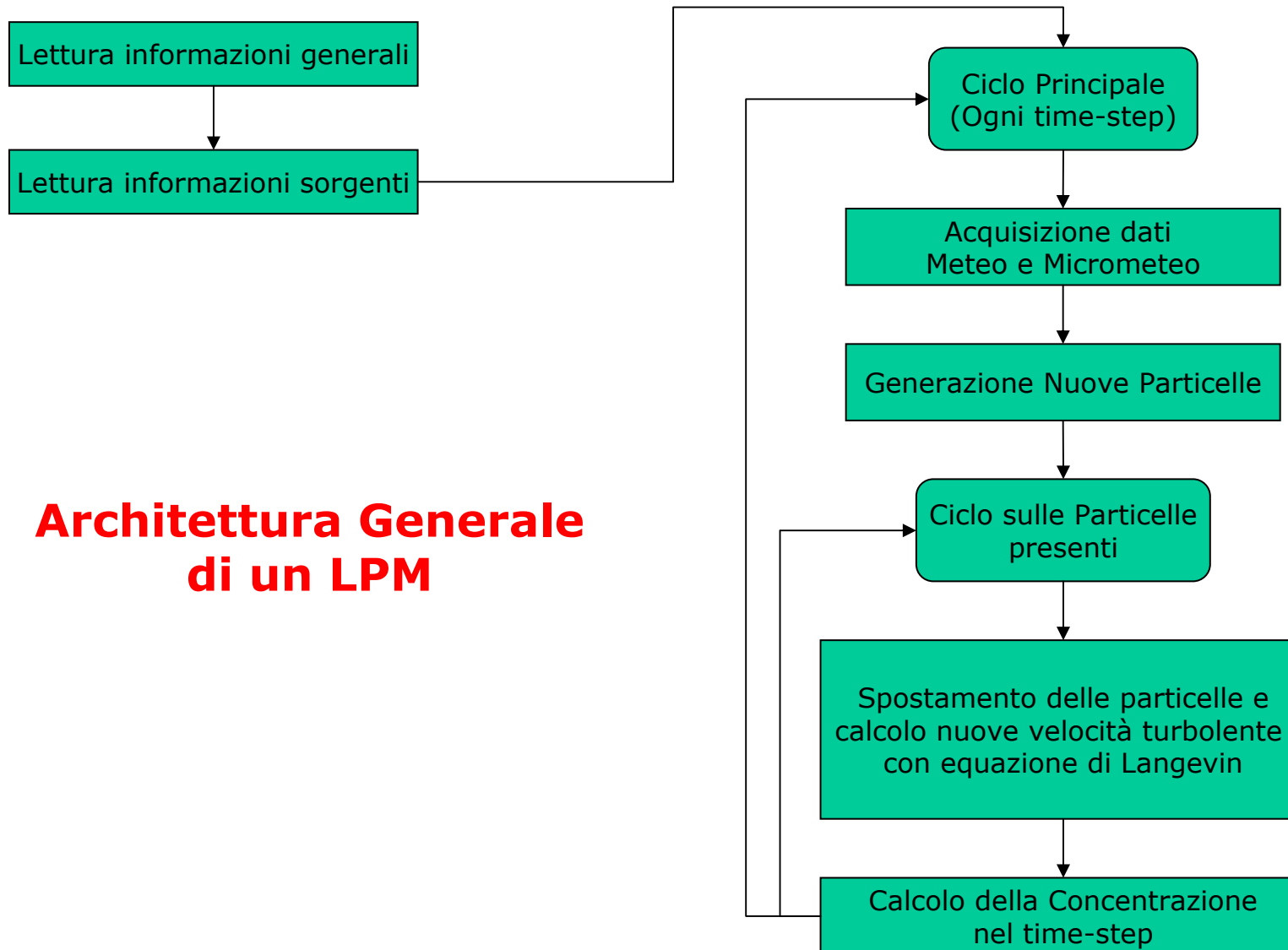
$$x_{op} = (\eta_0 - x_A) \cos \theta + (\xi_0 - y_A) \sin \theta$$

$$y_{op} = (\xi_0 - y_A) \cos \theta - (\eta_0 - x_A) \sin \theta$$

$$\eta_0 = L_x r_\alpha$$

$$\xi_0 = L_y r_\beta$$

dove,  $r_\alpha$  e  $r_\beta$  sono due numeri casuali estratti da una distribuzione uniforme (0-1)



## Architettura Generale di un LPM

### 3. Emissioni con buoyancy

**Molto spesso le emissioni, soprattutto quelle delle ciminiere, sono costituite da fumi:**

- caldi (es. 150°C)
- emessi con velocità elevate (es. 15 m/s)

**Per modellizzare ciò:**

- ⇒ **all'emissione, ad ogni particella viene attribuita una velocità ascensionale  $w_a(t_0)$  che si andrà a sommare a quella prevista dall'equazione di Langevin.**
- ⇒ **a  $t > t_0$ , la velocità ascensionale decrescerà simulando la perdita di galleggiamento dei fumi fino ad annullarsi.**

**I dettagli sono piuttosto complessi ed è qui preferibile ometterli.**

## 4. Altri meccanismi

**Nei modelli a particelle sono stati introdotti anche i fenomeni di deposizione secca ed umida.**

**Ci sono esempi molto interessanti presentati nella Letteratura Scientifica di trattamento della chimica dell'atmosfera in un contesto di LPM, anche se il problema non ha ancora avuto una soluzione completamente soddisfacente.**

## Realisticità di una simulazione LPM

**Non è mai agevole e semplice verificare l'attendibilità della simulazione operata da un modello ed in questo il Modello Lagrangiano a Particelle non fa eccezione.**

**Questo è dovuto principalmente alla penuria e povertà della maggior parte dei data-set sperimentali disponibili allo scopo.**

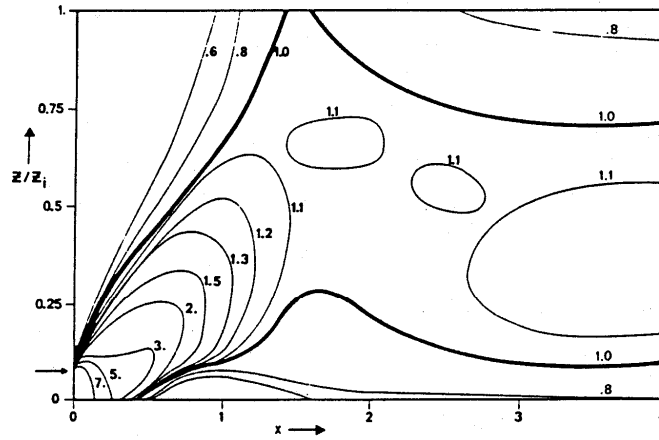
**Si presenta, a titolo di esempio, il confronto tra la concentrazione integrata lungo la direzione trasversale ottenuta da un tipico LPM (non dei più moderni) ed i celebri ed affidabili risultati ottenuti da Willis e Deardorff in laboratorio, tutte in **condizioni convettive** e relative a rilasci da una **sorgente punto** a varie quote.**



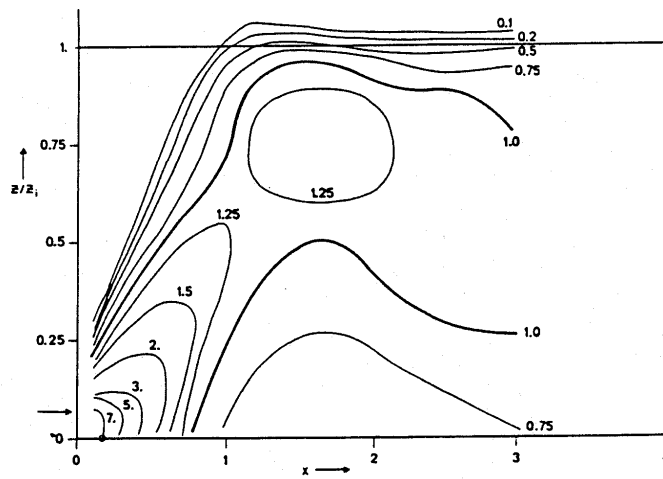
**Risultati molto buoni**

# Realisticità di una simulazione LPM

$$z_c/z_i = 0.07$$

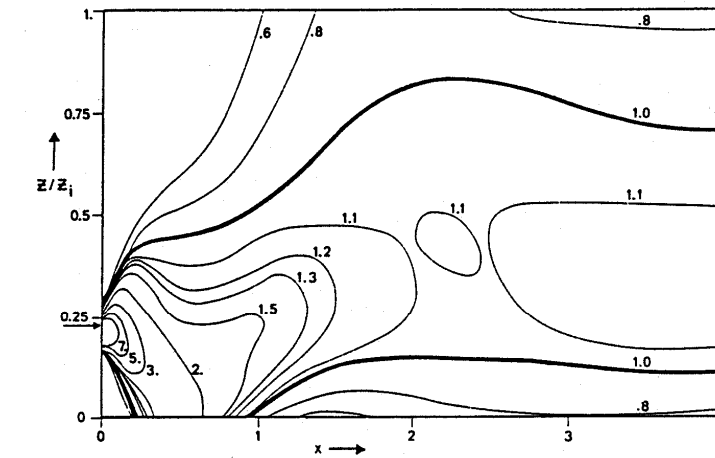


Risultati da esperimenti



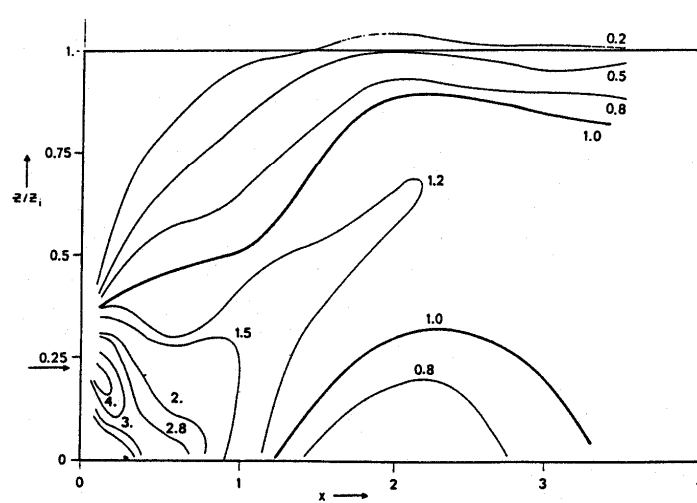
Risultati LPM

## Realisticità di una simulazione LPM



$$z_c/z_i = 0.25$$

Risultati da esperimenti



Risultati LPM

**Se:**

- ⇒ è noto il vento medio ed i principali indicatori della turbolenza del PBL in ogni punto dello spazio e ad ogni istante di interesse (anche nelle situazioni ad orografia complessa)
- ⇒ **il modello a particelle produce una descrizione realistica del fenomeno della dispersione degli inquinanti in aria.**

**Questo è probabilmente l'unico modello, attualmente, in grado di rappresentare realisticamente la dispersione in condizioni fortemente convettive ed in prossimità delle emissioni.**

**Presenta ancora qualche difficoltà l'inserimento nel modello di reazioni chimiche e fotochimiche.**

**Quella qui presentata è solo un'esposizione didattica molto semplificata.**



## **Modelli Lagrangiani a Particelle**

SPRAY - Arianet

FLEXPART

GRAL -

## **Bibliografia Essenziale Modelli Lagrangiani a Particelle**

R. Sozzi (2003): La Micrometeorologia e la Dispersione degli Inquinanti in Aria (APAT- CTN-ACE)

H.C. Rodean (1996): Stochastic Lagrangian Models of Turbulent Diffusion – American Meteorological Society

## **Approfondimenti**

D.T. Gillespie: Markov Processes. An introduction for physical scientists – Academic Press

C.W. Gardiner. Handbook of Stochastic Methods for physics, chemistry and the natural sciences - Springer